

ИНСТИТУТ ЯДЕРНОЙ ФИЗИКИ  
СО АН СССР

И.Н.Иванченко, Э.А.Кураев, В.С.Панин,  
С.И.Эйдельман

ПРОЦЕССЫ  $e^+e^- \rightarrow e^+e^-j, \mu^+\mu^-j, jjj$   
С ВЫЛЕТОМ ЧАСТИЦ НА  
БОЛЬШИЕ УГЛЫ

ПРЕПРИНТ ИЯФ 78 - 9

Новосибирск

ПРОЦЕССЫ  $e^+e^- \rightarrow e^+e^-\gamma, \mu^+\mu^-\gamma, \gamma\gamma\gamma$

С ВЫЛЕТОМ ЧАСТИЦ НА БОЛЬШИЕ УГЛЫ.

И.Н.Иванченко, Э.А.Кураев, В.С.Панин, С.И.Эйдельман

### А Н И О Т А Ц И Я

Приведены аналитические выражения для дифференциальных по энергиям конечных частиц распределений для процессов  $e^+e^- \rightarrow e^+e^-\gamma$ ,  $\mu^+\mu^-\gamma$ ,  $\gamma\gamma\gamma$  на большие углы при высоких энергиях в постановке, когда плоскость конечных частиц в системе центра инерции наклонена к оси пучков под углом  $\psi$ , большим некоторого  $\psi_0 < \psi < \pi/2$ . Для процесса  $e^+e^- \rightarrow \gamma\gamma\gamma$  рассмотрена постановка, когда регистрируются все три фотона, летящие вне конуса раствора  $2\psi_0$  вокруг оси пучков, отличная от постановки с плоскостью. Для постановки "с плоскостью" даны аналитические выражения для полных сечений.

Повышение точности экспериментов на ускорителях со встречными  $e^+e^-$  пучками позволяет предположить, что в ближайшее время будет осуществлена проверка квантовой электродинамики (КЭД) в процессах третьего порядка теории возмущений:  $e^+e^- \rightarrow e^+e^-\gamma$ ,  $\mu^+\mu^-\gamma$ ,  $\gamma\gamma\gamma$ . Интерес к этим процессам обусловлен и тем, что в некоторых экспериментах они являются фоновыми и должны быть выделены из экспериментальной информации. Например, процесс  $e^+e^- \rightarrow \gamma\gamma\gamma$  имитирует процессы  $e^+e^- \rightarrow \pi^0\gamma$  и  $e^+e^- \rightarrow \eta\gamma$ .

Вычисление сечений указанных реакций даже в борновском приближении является весьма громоздкой задачей и проводится обычно численно с помощью ЭВМ /I-3/. Настоящая работа посвящена изучению этих реакций с вылетом частиц на большие углы, причем большая часть результатов получена в аналитическом виде.

В п.1 в борновском приближении найдены аналитические выражения для распределений по энергиям конечных частиц (Далитц-плоскость), а также "полные" сечения для случая, когда плоскость конечных частиц (здесь и далее рассмотрение ведется в системе центра инерции начальных частиц) наклонена к оси пучков ( $\vec{p}_-$ ) под углом  $\Psi$ , большим некоторого  $\Psi_0$ :

$$\Psi_0 < \Psi < \frac{\pi}{2}, \quad m^2/\beta \ll \Psi_0 \leq \frac{\pi}{2}, \quad \beta = 4\varepsilon^2.$$

При этом оказывается, что дифференциальные по долям энергий конечных частиц  $\psi_{\pm}$ ,  $\psi$  сечения пропорциональны универсальным, не зависящим от начальной энергии  $\varepsilon$  пучка, функциям  $\Psi_0, \psi_i$ , а зависимость от энергии пучков дается общим множителем  $\alpha^{3/2}$ ,  $\alpha = 1/137$ ,  $\beta = 4\varepsilon^2$ . "Полные" сечения аналогичным образом зависят от  $\beta$ , но содержат еще два дополнительных параметра:  $\Delta$  — минимальный угол расколлинеарности заряженных частиц и  $\zeta = \xi_{\min}/\varepsilon$  — отношение порога их регистрации к энергии пучка (введение этих параметров необходимо для того, чтобы можно было говорить о плоскости конечных частиц). Для процесса  $e^+e^- \rightarrow \gamma\gamma\gamma$  достаточно ввести лишь один дополнительный параметр  $\eta = \omega_{\min}/\varepsilon$ .

В п.2 рассмотрена реакция  $e^+e^- \rightarrow \gamma\gamma\gamma$  в постановке, когда все три фотона имеют угол вылета относительно оси пучков больше некоторого  $\Psi$ . Для этого случая получены дифференциальное и полное сечение, а также инклузивное по энергии одного фотона сечение.

Точность всех полученных результатов определяется поправками  $\Delta^4$  и составляет  $1 + O(\frac{\Delta}{\pi} \ln \frac{\varepsilon}{m_e})$ .

В приложении I приведены различные выражения для фазового объема конечных частиц, которые могут оказаться полезными при рассмотрении трехчастичных реакций.

В приложении 2 содержатся некоторые интегралы по  $\varphi$ ,  $\psi$ , встречающиеся при интегрировании дифференциальных сечений.

В приложении 3 приведено развернутое выражение для дифференциального сечения процесса  $e^+e^- \rightarrow e^+e^- \gamma$  на большие углы.

I. Фазовый объем конечных частиц (далее всюду предполагается, что энергия пучков  $\Sigma$  много больше масс конечных частиц) может быть преобразован к виду (см. приложение I):

$$d\Gamma = \int \frac{d^3 q_1 d^3 q_2 d^3 q_3}{2\varepsilon_1 2\varepsilon_2 2\varepsilon_3} \frac{(2\pi)^4 \delta^{(4)}(p_t + p_- - q_1 - q_2 - q_3)}{(2\pi)^9} = \frac{8}{(4\pi)^4} \int_{0}^1 dy_1 \int_{0}^1 dy_2 \int_{0}^{\pi} d\varphi \int_{0}^{\pi} d\psi \cos\psi d\psi \quad (I.1)$$

где  $y_{1,2} = \varepsilon_{1,2}/\varepsilon$ ,  $\varphi$  – азимутальный угол в плоскости конечных частиц.

Сечения рассматриваемых процессов можно записать в виде:

$$d\sigma = \frac{1}{88} \frac{(4\pi\alpha)^3}{8} R d\Gamma = \frac{\alpha^3}{2\pi^3} R dy_1 dy_2 d\varphi \cos\psi d\psi, \quad (I.2a)$$

где величина  $R$  пропорциональна квадрату модуля матричного элемента, просуммированного по спиновым состояниям всех частиц:

$$R = \frac{8}{16(4\pi\alpha)^3} \sum_{\text{спин}} |M|^2. \quad (I.2b)$$

В силу законов сохранения

$$y_1 + y_2 + y_3 = 2, \quad \vec{q}_1 + \vec{q}_2 + \vec{q}_3 = 0,$$

задание энергией конечных частиц фокусирует углы между ними:

$$\cos(\vec{q}_1, \vec{q}_2) = 1 - 2 \frac{1-y_3}{y_1 y_2}.$$

Ограничение на угол расколлинеарности

$$\pi - (\vec{q}_+, \vec{q}_-) > \Delta, \quad (\vec{q}_+, \vec{q}_-) > \Delta, \quad \Delta \ll 1,$$

можно переписать в терминах долей энергий:

$$(-y_+)(-y_-)(y_+) \geq \frac{\Delta^2}{4} y_+^2 y_-^2 \quad (I.3)$$

Условие  $y_+ > y_-$ , определяющее порог регистрации заряженной частицы, вместе с (I.3) дает допустимую область изменения  $y_+$ ,  $y_-$  на Далитц-плоскости (рис. I):

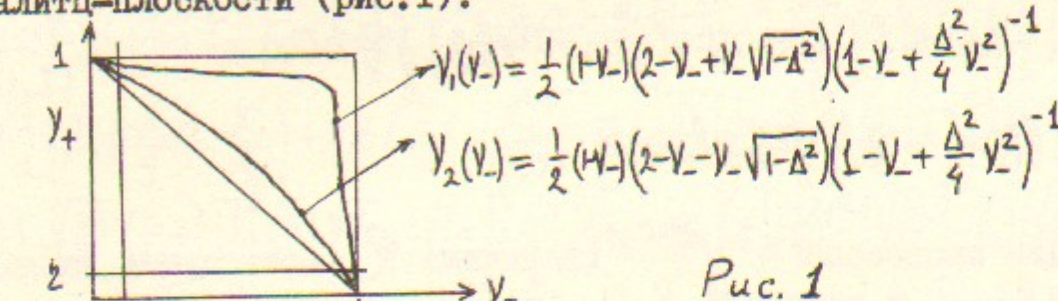


Рис. 1

А) Для процесса  $e^+e^- \rightarrow \gamma\gamma\gamma$  область изменения  $y_i$  дается условием

$$y_- < y_i < 1, \quad \sum y_i = 2, \quad (I.4)$$

а величина  $R$  имеет вид /4,5/:

$$R = \frac{8}{16(4\pi\alpha)^3} \sum |M|_{e^+e^- \rightarrow \gamma\gamma\gamma}|^2 = 8 \left[ \frac{y_3^2 (1-z_3^2)}{y_1^2 y_2^2 (1-z_1^2) (1-z_2^2)} + 2 \text{суд. реги.} \right] \quad (I.5)$$

$z_i = \cos(\vec{p}_-, \vec{q}_i)$  – косинусы углов между фотонами и осью ( $\vec{p}_-$ ) пучков. Величины  $z_i$ , удовлетворяющие в силу законов сохранения условию  $z_1 y_1 + z_2 y_2 + z_3 y_3 = 0$ , удобно выразить через  $\varphi$  и  $\psi$ :

$$z_1 = \cos\psi \cos\varphi, \quad z_2 = \cos\psi \cos(\varphi - (\vec{q}_2, \vec{q}_1)), \quad z_3 = \cos\psi \cos(\varphi + (\vec{q}_3, \vec{q}_1)).$$

Интегрируя по  $\varphi$  и  $\psi$  (см. приложение 2), получим распределение в Далитц-плоскости:

$$\frac{d^2 \sigma_{e^+e^- \rightarrow \gamma\gamma\gamma}}{dy_1 dy_2} = \frac{2\alpha^3}{38} [\phi_{123} + \phi_{312} + \phi_{231}], \quad (I.6)$$

где

$$\phi_{123} = \frac{y_1^2 + y_2^2}{y_1^2 y_2^2} \ln(1-z^2) + \frac{y_3^2 + (y_1 + y_2)^2}{2y_1 y_2 (1-y_3)} \ln \frac{1-z^2 (y_1 y_2)}{y_1 y_2} + \frac{y_3^2 + (y_1 - y_2)^2}{2y_1 y_2 (1-y_3)} \ln \frac{1-z^2 (y_3)}{1-z^2}, \quad (I.7)$$

$$z = \cos\psi,$$

а величины  $\phi_{312}$  и  $\phi_{231}$  получаются из  $\phi_{123}$  циклической переста-

новкой. В (I.6) внесён множитель  $1/3!$ , учитывающий тождественность фотонов. Интегрирование выражения (I.6) по области (I.4) дает "полное" сечение трехквантовой аннигиляции в рассматриваемой постановке:

$$\begin{aligned} \sigma^{e^+e^- \rightarrow \gamma\gamma\gamma}(z, y) = & \frac{2\alpha^3}{3} \left[ \left( 2 \int_0^{\frac{z^2}{x}} \ln(x) - \frac{3}{2} \ln^2(1-z^2) - 2 \ln(1-z^2) \right) \ln y - \frac{1}{2} \ln^2(1-z^2) + \right. \\ & + \frac{\pi^2}{6} \left( \frac{2z^2}{1-z^2} - \ln(1-z^2) \right) + \frac{1}{6} \ln^3(1-z^2) + \left( \frac{2}{1-z^2} + 2 \ln \frac{z^2}{1-z^2} \right) \int_0^{\frac{z^2}{x}} \ln(x) \ln(1-x) + \\ & \left. + \frac{3}{2} \int_0^{\frac{z^2}{x}} \ln^2(x) - 2 \int_0^{\frac{z^2}{x}} \ln x \ln(1-x) \right]. \end{aligned} \quad (I.8)$$

Б) Для процесса  $e^+e^- \rightarrow \mu^+\mu^-\gamma$  величина  $R$  есть сумма зарядово-четной  $R_{even}$  и нечетной  $R_{odd}$  части — соответственно не меняющей и меняющей знак при перестановке импульсов мезонов  $q_+ \leftrightarrow q_-$  /I.6/. Ясно, что  $R_{odd}$  не дает вклада в распределение по энергиям, т.к.  $R_{odd}(\varphi, \psi) = -R_{odd}(\varphi + \pi, \pi - \psi)$ . В пределе больших энергий с учетом  $\psi \sim 1$ ,  $R_{even}$  упрощается и принимает вид /I.6/:

$$\begin{aligned} R_{even} = & \frac{1}{2(H_+)(H_-)} \left[ Y_+^2 (1 + \cos^2 \psi \cos^2(\varphi + \theta_+)) + Y_-^2 (1 + \cos^2 \psi \cos^2(\varphi - \theta_-)) \right] - \frac{2}{1-y} + \frac{4}{y^2(H)} \left[ Y_+^2 + \right. \\ & \left. + 2(H) - Y_+ Y_- (1 + \cos^2 \psi \cos(\varphi - \theta_-) \cos(\varphi + \theta_+)) \right] \left[ 1 - \cos^2 \psi \cos^2 \psi \right]^{-1}, \cos \theta_{\pm} = 1 - 2 \frac{(1-y)}{y y_{\pm}}. \end{aligned}$$

Интегрирование по  $\varphi$  и  $\psi$  дает

$$\begin{aligned} \frac{d^2 \sigma^{e^+e^- \rightarrow \mu^+\mu^-\gamma}}{dy dy_-} = & \frac{\alpha^3}{23} \left\{ \left[ \frac{2-2y+y^2}{2(H_+)(H_-)} + Y_+ Y_- \left( \frac{32}{y^4} + \frac{4}{y^2(H)} \right) - 1 - \frac{2}{1-y} - \frac{8(2-y)^2}{y^4} \right] \phi_+ \right. \\ & \left. + \left[ -\frac{8y+y-(y^2-2y+2)}{y^2(H)} + \frac{4}{1-y} + \frac{16(1-y+y^2)}{y^4} \right] L - \frac{16(H_+)(H_-)}{y^4} Z^2 + \frac{1}{4} \left( -2 + \frac{2-2y+y^2}{(H_+)(H_-)} \right) \psi \right\}, \end{aligned} \quad (I.10)$$

где  $\phi = 2(L\beta_0)$ ,  $L = -\ln(1-z^2)$ ,  $\psi = \frac{2}{3}(L\beta_0)^2(2+\beta_0)$ ,  $\beta_0 = \ln \psi_0$ ,  $Z = \cos \psi_0$ .

Полное сечение получается интегрированием (I.10) по области, изображенной на рис. I, и имеет вид:

$$\begin{aligned} \sigma^{e^+e^- \rightarrow \mu^+\mu^-\gamma} = & \frac{\alpha^3}{23} \left\{ \left( \frac{1}{2} \phi + \frac{1}{4} \psi \right) \ln \frac{4}{\Delta^2} + \left( -\frac{13}{6} \phi + \frac{16}{3} L - \frac{4}{3} Z^2 - \frac{3}{4} \psi \right) \ln \frac{4}{\Delta^2} + \right. \\ & \left. + \left( \frac{11}{6} - \frac{1}{4} \right) \phi - \frac{8}{3} L + \frac{20}{9} Z^2 + \left( \frac{7}{8} + \frac{11}{12} \right) \psi \right\}. \end{aligned} \quad (I.11)$$

В) Для процесса  $e^+e^- \rightarrow e^+e^- \gamma$  величина  $R$  дается выражением /7,8/ (см. также приложение 3):

$$R = \frac{8}{16(4\pi d)^3} \sum C_n |M^{e^+e^- \rightarrow e^+e^- \gamma}|^2, \quad (I.12)$$

$$\begin{aligned} \frac{1}{3} R = & -\frac{1}{2} U U_1 (\alpha + \beta)^2 - \frac{1}{2} \beta \beta_1 \alpha^2 - \frac{1}{2} t t_1 \beta^2 + (\alpha + \beta) \left[ (q_3 - q_2) U \left( \chi_+ \left( \frac{1}{3} + \frac{1}{t_1} \right) + \chi_- \left( \frac{1}{t} + \frac{1}{3} \right) \right) + \right. \\ & \left. + (q_2 - q_4) U_1 \left( \chi_- \left( \frac{1}{t} + \frac{1}{3} \right) + \chi'_+ \left( \frac{1}{t_1} + \frac{1}{3} \right) \right) \right] + \alpha \left[ -q_3 \beta \left( \frac{\chi'_+}{t_1} + \frac{\chi'_-}{t} \right) + q_4 \beta_1 \left( \frac{\chi_+}{t_1} + \frac{\chi_-}{t} \right) \right] + \\ & + \beta \left[ q_1 t_1 \left( \frac{\chi_-}{3} - \frac{\chi'_-}{3} \right) + q_2 t \left( \frac{\chi_+}{3} - \frac{\chi'_+}{3} \right) \right] - U_1 \left[ \sqrt{\frac{\chi'_+}{\chi_-}} \left( \frac{1}{t_1} + \frac{1}{3} \right) + \sqrt{\frac{\chi_-}{\chi'_+}} \left( \frac{1}{t} + \frac{1}{3} \right) \right]^2 - U \left[ \sqrt{\frac{\chi_+}{\chi'_-}} \left( \frac{1}{t_1} + \frac{1}{3} \right) + \right. \\ & \left. + \frac{1}{3} \right] + \sqrt{\frac{\chi'_-}{\chi'_+}} \left( \frac{1}{3} + \frac{1}{t} \right)]^2 + \beta_1 \left[ \frac{1}{t_1} \sqrt{\frac{\chi_+}{\chi'_-}} + \frac{1}{t} \sqrt{\frac{\chi'_-}{\chi_+}} \right]^2 + \beta \left[ \frac{1}{t_1} \sqrt{\frac{\chi_+}{\chi'_-}} - \frac{1}{t} \sqrt{\frac{\chi'_-}{\chi_+}} \right]^2 - t_1 \left[ \frac{1}{3} \sqrt{\frac{\chi_+}{\chi'_-}} - \frac{1}{3} \sqrt{\frac{\chi'_-}{\chi_+}} \right]^2, \end{aligned}$$

$$\alpha = \frac{1}{t_1} q_1 + \frac{1}{t} q_2, \beta = \frac{1}{3} q_3 + \frac{1}{3} q_4, q_1 = \frac{p'_+}{\chi'_-} - \frac{p'_-}{\chi_-}, q_2 = \frac{p_+}{\chi'_-} - \frac{p'_-}{\chi'_+}, q_3 = \frac{p'_-}{\chi'_-} - \frac{p_+}{\chi_+}, q_4 = \frac{p_+}{\chi_+} - \frac{p_-}{\chi_-},$$

$$\chi_{\pm} = k p_{\pm}, \chi'_{\pm} = k p'_{\pm}, t = (p_- - p'_-)^2, t_1 = (p_+ - p'_+)^2, U = (p_- - p'_+)^2, U_1 = (p_+ - p'_-)^2, \beta = (p_+ + p'_-)^2.$$

В силу законов сохранения  $p_+ + p_- = p'_+ + p'_-$  выполняется следующее соотношение:

$$t + t_1 + U + U_1 + \beta + \beta_1 = 0.$$

Довольно громоздкое интегрирование по  $\varphi$  и  $\psi$  приводит к следующему распределению по долям энергий электрона и позитрона:

$$\begin{aligned} \frac{d^2 \sigma^{e^+e^- \rightarrow e^+e^- \gamma}}{dy dy_-} = & \frac{\alpha^3}{23} \left\{ \left[ \frac{32(H_+)(H_-)}{y^4} + \frac{4Y_+Y_-}{y^2(H)} - \frac{4(H)(2-y)^2}{y_+^2 y_-^2} + \frac{4Y(H)}{y_+ y_-} + \frac{9(y^2-2y+2)}{2(H_+)(H_-)} - \frac{24}{y^2} + \frac{8}{y} - \frac{1}{H} \right] \phi_+ \right. \\ & + \frac{1}{4} \left[ -2 + \frac{y^2-2y+2}{(H_+)(H_-)} \right] \psi + \left[ -\frac{16(H_+)(H_-)}{y^4} + \frac{8(2-y)}{y^2} + \frac{2(H)(2-y)^2}{y_+^2 y_-^2} - \frac{4(H)}{y_+ y_-} + \left( -\frac{6}{H} - 16y^2 + \right. \right. \\ & \left. \left. + 40y - 38 \right) \frac{1}{(H_+)(H_-)} - \frac{16(H_+)(H_-)}{y^4} - \frac{8Y_+Y_-}{y^2(H)} + \frac{48}{y^2} - \frac{4}{y} + 8 + \frac{12}{H} \right] L + \left[ \left( \frac{8(y^2-2y+2)}{y^2(H_+)} + \right. \right. \\ & \left. \left. + \frac{4}{H_-} \left( 1 + \frac{2}{H} + \frac{4}{y^2} \right) + \frac{4Y_+}{Y(H)} - \frac{8}{H} - \frac{16}{y} \right) L^{(+)} + \beta_{\text{умм}} \right] + \\ & + \left[ \left( \frac{8(y^2-2y+2)}{(H_+)(H_-)^2} + \frac{1}{H_-} \left( -\frac{16(H)}{y^2} - \frac{12}{1-y} - 12 + 4y \right) + \frac{4}{y^2(H_+)} (2y^3 - 7y^2 + 8y - 4) + \right. \right. \\ & \left. \left. + \frac{4Y_- + 8}{Y(H)} - 4 \right) L^{(-)} + \beta_{\text{умм}} \right], L^{(+)} = \ln \frac{1 - z^2 (H_+)(H_-)}{1 - z^2}, L^{(-)} = \ln \frac{1 - z^2 y_-}{1 - z^2}. \end{aligned} \quad (I.13)$$

Значком  $\beta_{\text{умм}}$  мы обозначаем член, получающийся из предыдущего с заменой  $y_+ \leftrightarrow y_-$ . Наконец, приведем выражение для "полного" сечения:

$$\begin{aligned} \sigma_{e^+e^- \rightarrow e^+e^-\gamma} = & \frac{\alpha^3}{28} \left\{ \left[ \frac{9}{2}\phi + \frac{1}{4}\psi + \frac{8z^2}{1-z^2} + 6\ln(1-z^2) \right] \ln^2\left(\frac{4}{\Delta^2}\right) + 8\ln_2\ln\frac{4}{\Delta^2}\ln(1-z^2) + \right. \\ & + \left( -\frac{133}{6}\phi - \frac{3}{4}\psi + \frac{20}{3}z^2 - \frac{220}{3}\ln(1-z^2) - \frac{8z^2}{1-z^2} + \frac{16}{1-z^2}\ln(1-z^2) + 32 \int_0^{z^2} \frac{dx}{x} \ln(1-x) \right) \ln\frac{4}{\Delta^2} + \\ & + \frac{\pi^2}{6} \left( 9\phi + \frac{1}{2}\psi + 84\ln(1-z^2) + \frac{48z^2}{1-z^2} + 4z^4 + 24z^2 \right) + \frac{143}{4}\phi + \frac{7}{8}\psi - \frac{178}{9}z^2 + \quad (I.14) \\ & + \frac{8z^2}{1-z^2} + 4z^2 + 4\ln^3(1-z^2) + 40 \int_0^{z^2} \frac{dx}{x} \ln^2(1-x) + \left( \frac{16z^2-8}{1-z^2} - 22 + 12z^2 + 2z^4 \right) \ln^2(1-z^2) + \\ & \left. + \left( -\frac{8}{1-z^2} + 4z^2 - \frac{10}{3} \right) \ln(1-z^2) + \left( 24(1-z^2) - 4z^4 - 40\ln(1-z^2) - \frac{32z^2}{1-z^2} \right) \int_0^{z^2} \frac{dx}{x} \ln(1-x) \right\}. \end{aligned}$$

Обсудим полученные результаты. Видно, что распределения в Далитц-плоскости для всех трех процессов не содержат членов  $\sim(1-z^2)^{-1}$ . Для  $e^+e^- \rightarrow \gamma\gamma\gamma$  и  $e^+e^- \rightarrow \mu^+\mu^-\gamma$  это является следствием того, что сечение падает с ростом энергии. Сечение реакции  $e^+e^- \rightarrow e^+e^-\gamma$  не падает с ростом энергии, причем основной вклад в него дает область малых переданных импульсов  $-t(-t_1) \sim m^6/3^2/9$ , 10%. Мы исключаем эту область, выбирая  $\psi_0 \sim 1$ . Члены  $\sim(1-z^2)^{-1}$  происходят от интегрирования выражений в  $R \sim t^{-2}(t_1^{-2})$ , но в силу сохранения тока при  $t \rightarrow 0$  сингularity  $t^{-2}$  в полной сумме компенсируется до  $t^{-1}$ , что и объясняет отсутствие членов  $\sim(1-z^2)^{-1}$ .

На рис.2 показана зависимость "полных" сечений рассмотренных процессов от  $z$ . Как дифференциальные, так и "полные" сечения являются плавными функциями  $z$  и стремятся к 0 при  $z \rightarrow 0$ . При  $z \rightarrow 1$  ( $\psi_0 \rightarrow 0$ ) формулы становятся неприменимыми. Область допустимого изменения параметров  $z$ ,  $\psi_0$ ,  $\Delta$  определяется условием

$$\frac{m^2}{\delta} \ll \psi_0 \leq \Delta \ll 1-z^2.$$

2. Для эксперимента удобной является постановка, когда регистрируются конечные частицы, полярные углы которых по отношению к оси пучков больше некоторого  $\psi_0$ , т.е. летящие вне конуса раствора  $2\psi_0$  с осью вдоль пучков. Заметим, что такая постановка отличается от рассмотренной выше – когда плоскость конечных частиц наклонена к оси пучков под углом большим  $\psi_0$ , а именно: в постановке с плоскостью теряется часть статистики – события, отвечающие случаю, когда плоскость наклонена к оси пучка под

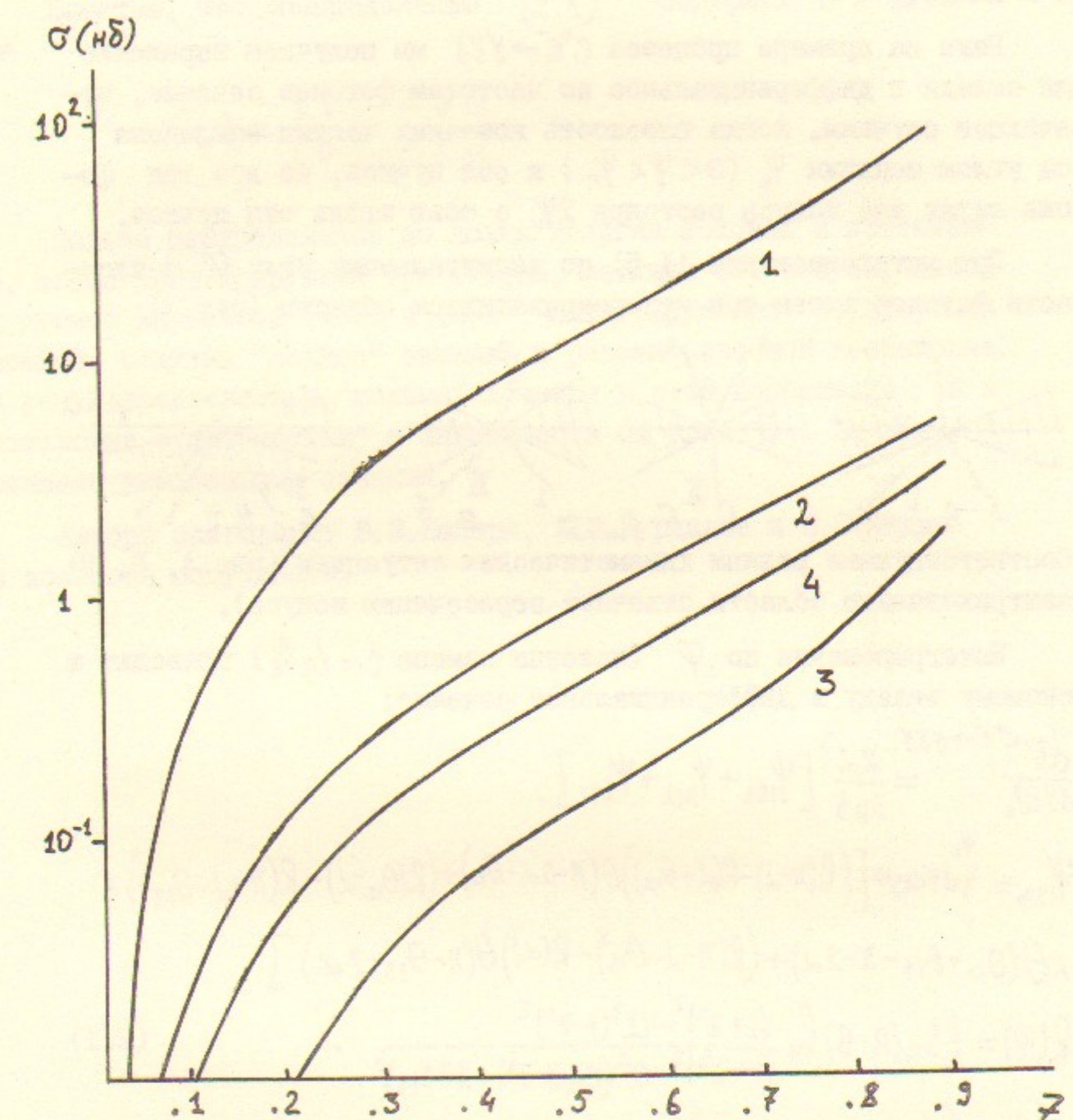


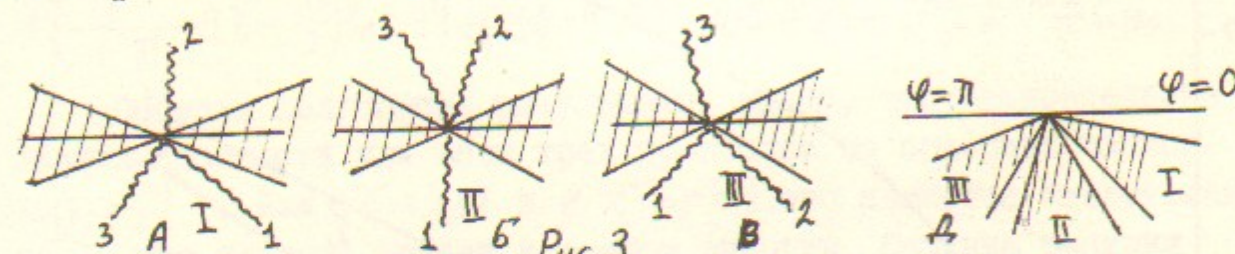
Рис. 2

Полные сечения в постановке "с плоскостью" для процессов  $e^+e^- \rightarrow e^+e^-\gamma$  (кривая 1),  $e^+e^- \rightarrow \mu^+\mu^-\gamma$  (кривая 2),  $e^+e^- \rightarrow \gamma\gamma\gamma$  (кривая 3), и в постановке "с конусом" для процесса  $e^+e^- \rightarrow \gamma\gamma\gamma$  (кривая 4), при  $\Delta E = 1 \text{ ГэВ}$ ,  $\Delta = 0.05$ ,  $z = 0.05$ .

углом меньшим  $\Psi_0$  (пересекает конус), однако частицы не попадают в конус.

Ниже на примере процесса  $e^+e^- \rightarrow \gamma\gamma\gamma$  мы получаем выражение для вклада в дифференциальное по частотам фотонов сечение, отвечающее случаям, когда плоскость конечных частиц наклонена под углом меньшим  $\Psi_0$  ( $0 < \Psi < \Psi_0$ ) к оси пучков, но все три фотона летят вне конуса растровра  $2\Psi_0$  с осью вдоль оси пучков.

При интегрировании (I.5) по азимутальному углу  $\varphi$  в плоскости фотонов имеем три неперекрывающиеся области (рис.3):



Соответствующие разным кинематическим ситуациям (рис.А, Б, В) (заштрихованные области отвечают пересечению конуса).

Интегрирование по  $\varphi$  (полезна замена  $t = \operatorname{tg} \frac{\varphi}{2}$ ) приводит к искомому вкладу в дифференциальное сечение:

$$\begin{aligned} \frac{d\sigma_{e^+e^- \rightarrow \gamma\gamma\gamma}}{dy_1 dy_2} &= \frac{2\omega^3}{3\pi\beta} [\Psi_{123} + \Psi_{312} + \Psi_{231}], \\ \Psi_{123} &= \int_0^{\Psi_0} d\psi \cos\psi [ (R(\pi - \alpha) - R(\alpha + \theta_{12})) \theta(\pi - 2\alpha - \theta_{12}) + (R(\theta_{12} - \alpha) - R(\pi + \alpha - \theta_{13})) \times \\ &\quad \times \theta(\theta_{12} + \theta_{13} - \pi - 2\alpha) + (R(\pi - \alpha - \theta_{13}) - R(\alpha)) \theta(\pi - \theta_{13} - 2\alpha) ], \\ R(\varphi) &= \frac{1}{2} \beta_{12} (A - B) \ln \frac{(1 + z^2)^2 - \alpha^2 (1 - z^2)^2}{(1 + z^2)^2 - \alpha^2 (C_{12}(1 - z^2) + 2z\beta_{12})^2} + \quad (2.1) \\ &+ \frac{1}{\sqrt{1 - \alpha^2}} \left\{ (A(1 - C_{12}) + B(1 + C_{12})) (\alpha_+ + \alpha_- + \beta_+ + \beta_-) - \frac{1}{y_1^2} (\alpha_+ + \alpha_-) - \frac{1}{y_2^2} (\beta_+ + \beta_-) \right\}, \\ \alpha &= \cos\Psi, C_{12} = \cos\theta_{12} = 1 - 2 \frac{1 - y_3}{y_1 y_2}, \beta_{12} = \sin\theta_{12}, \alpha_{\pm} = \arctg \left( 2 \sqrt{\frac{1 \pm \alpha}{1 - \alpha}} \right), z = \operatorname{tg} \frac{\varphi}{2}, \\ \beta_{\pm} &= \arctg \frac{z(1 \pm \alpha C_{12}) \mp \alpha \beta_{12}}{\sqrt{1 - \alpha^2}}, A = \frac{y_3^2 + (y_1 + y_2)^2}{4y_1^2 y_2^2 (1 - C_{12})(1 - \alpha^2 \frac{1 + C_{12}}{2})}, B = \frac{y_3^2 + (y_1 - y_2)^2}{4y_1^2 y_2^2 (1 + C_{12})(1 - \alpha^2 \frac{1 - C_{12}}{2})}. \end{aligned}$$

Оставшееся однократное интегрирование по  $\psi$  удобнее выполнить численно. Численный расчет показывает, что дифференциальное по  $y_1, y_2$  сечение в постановке "с конусом" в среднем в два раза

больше, чем в постановке "с плоскостью" для  $\Psi_0 = 45^\circ$ .

Заметим, что распределение (2.1) содержит  $\theta$ -функцию

$$\theta(x) = \begin{cases} 1 & x \geq 0 \\ 0 & x < 0. \end{cases}$$

Полное распределение по долям энергии фотонов в постановке, когда регистрируются три фотона, летящие вне конуса, дается суммой выражений (I.6) и (2.1). Интегрируя его по энергиям фотонов, получим "полное" сечение в рассматриваемой постановке. На рис.2 представлены "полные" сечения в этой постановке и в "постановке с плоскостью" в зависимости от угла  $\Psi_0$ . На рис.4 показаны инклузивные сечения.

Авторы благодарят В.Н.Байера, Л.М.Курдадзе и В.С.Фадина за полезные обсуждения.

ПРИЛОЖЕНИЕ I

Приведем некоторые выражения для фазового объема трех конечных частиц в системе центра масс.

$$d\Gamma = \frac{d^3q_1 d^3q_2 d^3q_3}{2\varepsilon_1 2\varepsilon_2 2\varepsilon_3} \frac{(2\pi)^4}{(2\pi)^9} \delta^{(4)}(\rho_+ + \rho_- - q_1 - q_2 - q_3) = \frac{2\pi^2}{2^8 \pi^5} \frac{\varepsilon_1 d\varepsilon_1 \varepsilon_2 d\varepsilon_2}{\varepsilon_3} \times$$

$$\times d\alpha d\beta_1 d\beta_2 \delta(2 - \varepsilon_1 - \varepsilon_2 - \sqrt{\varepsilon_1^2 + \varepsilon_2^2 + 2\varepsilon_1 \varepsilon_2 C_{12}}),$$

где  $C_{12} = z_1 z_2 + \sqrt{(1-z_1^2)(1-z_2^2)} \cos \alpha$  — косинус угла между импульсами  $\vec{q}_1$  и  $\vec{q}_2$ ;  $z_{1,2}$  — косинусы углов между импульсами  $\vec{q}_{1,2}$  и осью пучков  $\vec{P}$ .  $\alpha$  — угол между плоскостями  $(\vec{P}, \vec{q}_1)$  и  $(\vec{P}, \vec{q}_2)$ ,  $\varepsilon_i = \varepsilon_i/\varepsilon$ ,  $\varepsilon_1 + \varepsilon_2 + \varepsilon_3 = 2$ .

Выполним интегрирование в (I) по  $\alpha$  с помощью  $\delta$  — функции:

$$\frac{d\alpha}{\varepsilon_3} \delta(2 - \varepsilon_1 - \varepsilon_2 - \varepsilon_3) = 2 / |\varepsilon_1 \varepsilon_2 \sqrt{1 - z_1^2(1 - z_2^2)} \sin \alpha|.$$

Множитель 2 отвечает двум решениям уравнения  $2 - \varepsilon_1 - \varepsilon_2 = \varepsilon_3$ :  $\alpha = \pi - \alpha$ . В результате несложных вычислений:

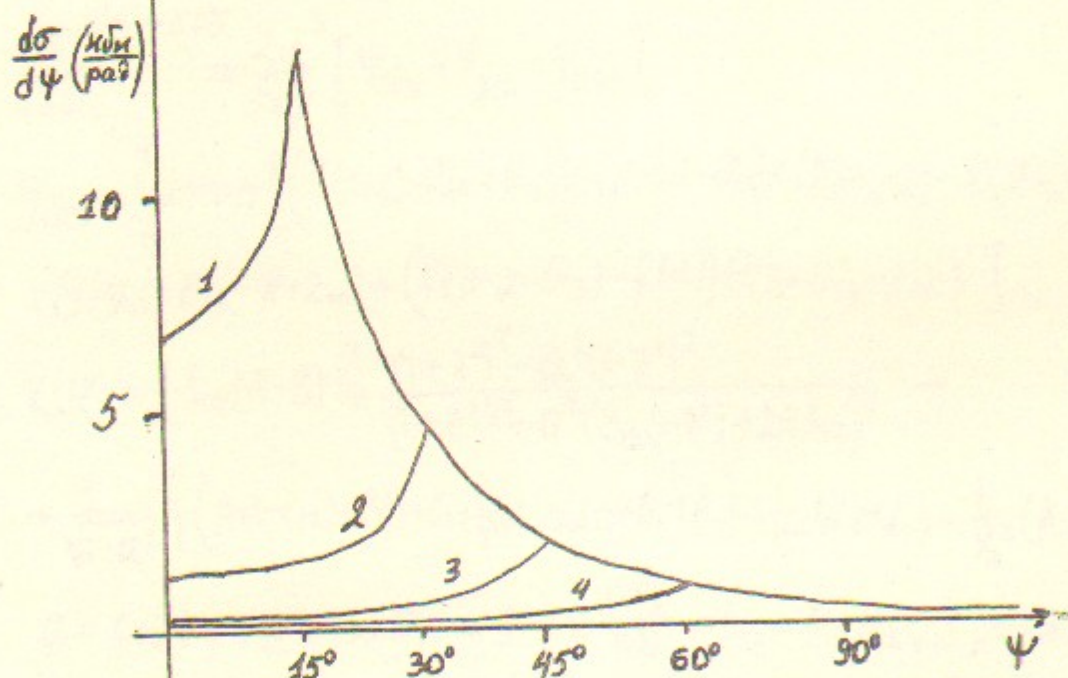
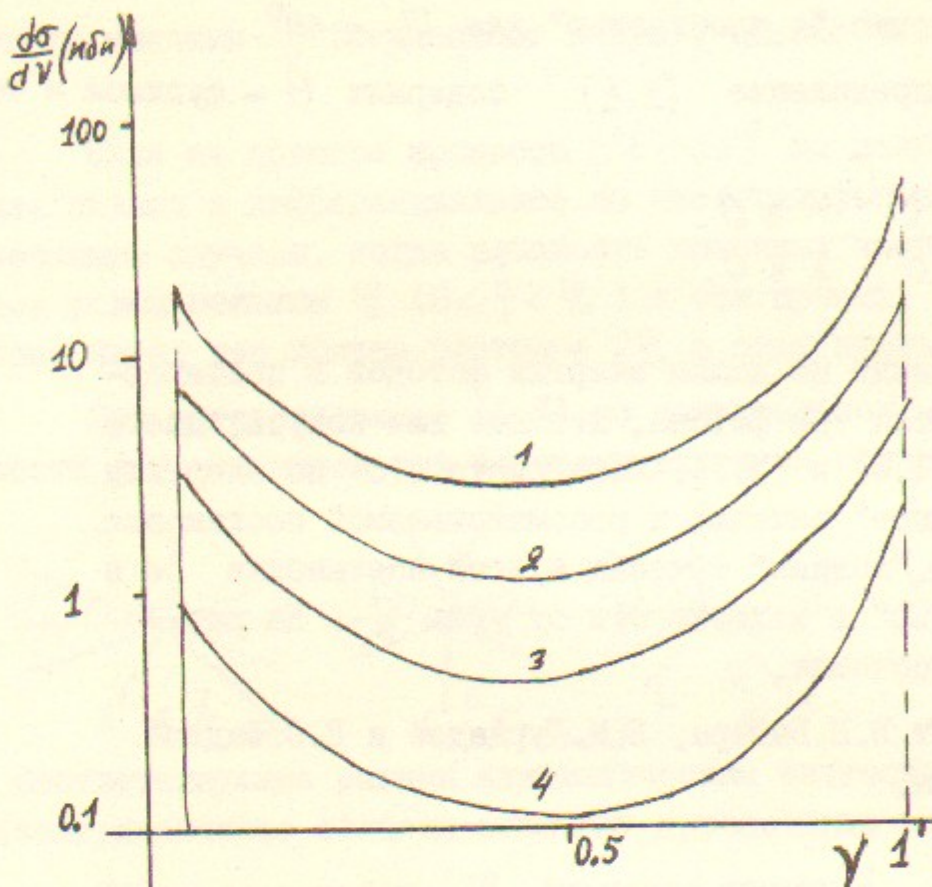
$$d\Gamma = \varepsilon^2 \pi^4 2^{-6} d\varepsilon_1 d\varepsilon_2 \frac{dz_1 dz_2}{\sqrt{D}}, \quad D = 1 - z_1^2 - z_2^2 - C_{12}^2 + 2z_1 z_2 C_{12}. \quad (2)$$

Область интегрирования по долям энергий  $\varepsilon_1$ ,  $\varepsilon_2$  находится из законов сохранения энергии и импульса и условий эксперимента. Она заключена в треугольнике:

$$0 < \varepsilon_i < 1, \quad 1 \leq \varepsilon_1 + \varepsilon_2.$$

Область интегрирования по  $z_i$  определяется  $D > 0$  и представляет собой внутренность эллипса, вписанного в квадрат  $z_1 = \pm 1$ ,  $z_2 = \pm 1$ .

В постановке, когда фиксируется плоскость, в которой лежат импульсы конечных частиц, удобными переменными являются  $\varepsilon_i$ ,  $\psi$  — угол между этой плоскостью и осью пучков ( $0 < \psi < \pi/2$ ) и  $\varphi$  — азимутальный угол в этой плоскости. Чтобы перейти к этим переменным, выразим  $\varepsilon_i$  и  $\psi$  из геометрии конечных частиц:



$$1 - \psi_0 = 15^\circ, \quad 2 - \psi_0 = 30^\circ, \quad 3 - \psi_0 = 45^\circ, \quad 4 - \psi_0 = 60^\circ.$$

Рис. 4. Иллюзорные сечения по  $\gamma$  и по  $\psi$  (угол между плоскостью разлета и осью пучков) для процесса  $e^+e^- \rightarrow \gamma\gamma\gamma$  в постановке "с конусом".

$$\sin \psi = (1 - c_{12}^2)^{-1} \mathcal{D}^{1/2} \equiv F(z_1, z_2).$$

Затем, пользуясь  $z_2 = \cos \psi \cos \varphi$ , вводя формальное интегрирование по  $\psi$ :

$$dz_1 dz_2 d\sin \psi \delta(\sin \psi - F)$$

и проводя интегрирование по  $z_1$ , с помощью  $\delta$ -функции, находим:

$$d\Gamma = \varepsilon^2 \pi^{-4} 2^{-6} dy_1 dy_2 d\varphi \cos \psi d\psi \\ 0 < \varphi < 2\pi, 0 < \psi < \frac{\pi}{2}. \quad (3)$$

Полезно проконтролировать справедливость (2), (3), для этого вычислим полный фазовый объем. Из (I) следует  $\int dz_1 dz_2 = 4\pi dC_{12}$ ,

$$\int \frac{y_1 y_2}{y_3} dC_{12} \delta(2-y_1 - y_2 - \sqrt{y_1^2 + y_2^2 + 2y_1 y_2 c_{12}}) = 1, \int d\Gamma = \varepsilon^2 \pi^{-3} 2^{-5} \int dy_1 dy_2.$$

Аналогичный результат следует из (2) и из (3) если заметить, что

$$\int_{\mathcal{D} > 0} dz_1 dz_2 \mathcal{D}^{1/2} = 2\pi.$$

## ПРИЛОЖЕНИЕ 2

Выполнение интегрирования по  $\varphi$  и по  $\psi$  мы продемонстрируем на примере выражения, содержащего в знаменателе три разных инварианта:  $t$ ,  $t_1$ ,  $\chi_-$ . Интегрирование по  $\varphi$  производится с помощью вычетов:

$$\int_0^{2\pi} \frac{d\varphi [1 - \cos \varphi]^{-1}}{[1 - \cos(\varphi - \varphi_1)][1 - \cos(\varphi - \varphi_2)]} = \frac{8i}{\alpha^3} \oint \frac{z^2 dz}{[z^2 - \frac{2}{\alpha} z e^{i\varphi_1} + e^{2i\varphi_1}][z^2 - \frac{2}{\alpha} z e^{i\varphi_2} + e^{2i\varphi_2}]}.$$

Здесь интегрируем по единичной окружности в комплексной плоскости  $z$ . Беря сумму трех вычетов внутри окружности получим:

$$y = \frac{\pi}{\sqrt{1-\alpha^2}} \left\{ \frac{\cos(\varphi_1 - \varphi_2)}{1 - \alpha^2 \cos^2(\frac{\varphi_1 - \varphi_2}{2})} \left[ \sin \frac{\varphi_1}{2} \sin \frac{\varphi_2}{2} \right]^{-1} + \frac{\cos \frac{\varphi_2}{2} \left[ \sin \frac{\varphi_1}{2} \sin \left( \frac{\varphi_1 - \varphi_2}{2} \right) \right]^{-1}}{1 - \alpha^2 \cos^2 \frac{\varphi_2}{2}} + \frac{\cos \frac{\varphi_1}{2} \left[ \sin \frac{\varphi_2}{2} \sin \left( \frac{\varphi_1 - \varphi_2}{2} \right) \right]^{-1}}{1 - \alpha^2 \cos^2 \frac{\varphi_1}{2}} \right\}$$

Интегрирование по  $\psi$  дает ( $a = \cos \psi$ ):

$$\frac{\pi \left[ \sin \left( \frac{\varphi_1 - \varphi_2}{2} \right) \right]^{-1}}{2 \sin \frac{\varphi_1}{2} \sin \frac{\varphi_2}{2}} \left\{ \operatorname{ctg} \left( \frac{\varphi_1 - \varphi_2}{2} \right) \ln \frac{1 - z^2 \cos^2 \frac{\varphi_1 - \varphi_2}{2}}{1 - z^2} + \operatorname{ctg} \frac{\varphi_2}{2} \ln \frac{1 - z^2 \cos^2 \frac{\varphi_2}{2}}{1 - z^2} - \operatorname{ctg} \frac{\varphi_1}{2} \ln \frac{1 - z^2 \cos^2 \frac{\varphi_1}{2}}{1 - z^2} \right\}.$$

Приведем еще результат для выражения типа  $t^{-2} t_1^{-1}$ :

$$\int_0^{\pi/2} d\psi \left\{ \frac{d\varphi}{[\cos \psi]^2 [1 - \cos \varphi]^2 [1 - \cos(\varphi - \varphi_1)]} \right\} = \pi \int_0^{\pi/2} d\psi \cos \psi \frac{2 - \alpha^2 (1 + \alpha^2 \cos^2 \frac{\varphi}{2})}{(1 - \alpha^2)^{3/2} \left[ 1 - \alpha^2 \cos^2 \frac{\varphi}{2} \right]^2} = \\ = \frac{\pi}{\sin^2 \frac{\varphi_1}{2}} \left[ \frac{z^2}{1 - z^2} + \frac{1}{\sin^2 \frac{\varphi_1}{2}} \ln \frac{1 - z^2 \cos^2 \frac{\varphi_1}{2}}{1 - z^2} - \frac{2z^2 \cos^2 \frac{\varphi_1}{2}}{1 - z^2 \cos^2 \frac{\varphi_1}{2}} \right], \quad z = \cos \psi.$$

Это выражение содержит величины  $(1 - z^2)^{-1}$ , которые, однако, выпадут из полного выражения для распределения по долям энергий по указанным в тексте причинам.

## ПРИЛОЖЕНИЕ 3

Ввиду важности для приложений дадим развернутое выражение для дифференциального сечения процесса  $e^+e^- \rightarrow e^+e^- \gamma$  на большие углы:

$$d\sigma^{e^+e^- \rightarrow e^+e^- \gamma} = \frac{e^3}{2\pi s} d\psi \cos \psi d\psi dy_+ dy_- R, \quad 0 < \psi < 2\pi, \psi_0 < \psi < \frac{\pi}{2}, \\ R = -\frac{M^2 e^2}{28} \left( \frac{3+z^2}{1-z} \right)^2 \left[ \frac{4}{\chi_+^2} + \frac{4}{\chi_-^2} + \frac{1}{(H+)^2} + \frac{1}{(H-)^2} \right] + \left( \frac{1}{\chi_+} + \frac{1}{\chi_-} \right) \frac{t_1^2 t}{(H+)(H-)} + \frac{t_1^2}{2(H-)} + \\ + \frac{t^2 (1-y_+ - 3(2-y))}{\chi_- \cdot 2(H+)(H-)} + \frac{t^2 (3(H+)-(4+y))}{\chi_+ \cdot 2(H+)(H-)} + t t_1 \frac{2-y}{4(H+)(1-y_-)} + \frac{t t_1}{\chi_-} \frac{1}{2(H-)} \left[ 4(1-2y) + \frac{y(9y-8)}{1-y_-} - \frac{y(2-y)}{1-y_+} \right] + \frac{t_1}{\chi_-} \frac{1}{1-y} \left[ (4 - \frac{2}{y})y_- + \frac{(H+)(12+y)}{1-y_-} + 8y - 4 - \frac{2}{y} \right] + \frac{t_1}{\chi_+} \frac{1}{1-y} \left[ (H)(6-7y) + \frac{2y^2-6y+6}{1-y_-} + \frac{2(H+)}{y}y_- - 11y + 20 - \frac{6}{y} \right] + t_1 \left[ \frac{2y^2-5y-4}{2y(H+)} - \frac{y^2-8y+4}{2y(H-)} - \frac{2-y}{1-y} \right] + t_1 (\chi_- - \chi_+) \frac{y_+}{4(H+)(H-)} + \\ + \frac{1}{2} \left( 15-y + \frac{3}{H+} + \frac{y^2-11y+8}{(H+)(H-)} \right) + \frac{\chi_+}{2y} \left( -y + \frac{2+y}{1-y_+} + \frac{(H)(2-y)}{1-y_-} \right) + \frac{\chi_+ (H)}{t} \left( -\frac{2}{1-y_+} - \frac{2-y}{1-y_-} \right) + \frac{\chi_-}{t} \left( 2 - \frac{1+2y}{y(H-)} - \frac{(H)^2}{y(H+)} \right) + \frac{1}{t^2 \chi_+} \left[ -8(H)y_- - 16y^2 + 40y - 24 \right] + \frac{4}{t^2} \left( y_- - 1 + \frac{2y^2-5y+4}{1-y_-} \right) +$$

$$\begin{aligned}
& + \frac{2\chi_-}{t^2} \left( -1 + \frac{1}{1-y_-} \right) + \frac{t^2}{t_1 \chi_-} \frac{1}{1-y} \left( -2+y + \frac{y^2 - 6y + 6}{1-y_+} \right) + \frac{t^2}{t_1 \chi_+} \frac{2}{1-y} \left( -1 + \frac{1}{1-y_+} \right) - \frac{t^2}{2t_1(\chi_+)} + \\
& + \frac{t^2}{t_1^2 \chi_-} \left( 2 - \frac{4-2y}{1-y_+} \right) + \frac{t}{t_1} \left( -1 + \frac{(1-y)(2-3y)}{y(\chi_-)} - \frac{y^2 - 7y - 2}{y(\chi_+)} \right) + \frac{t \chi_-}{t_1} \frac{1-y}{2(\chi_+)(\chi_-)} + \\
& + \frac{4t}{t_1^2 y} \left( y_+ - 2y + \frac{4-4y+2y^2}{1-y_+} \right) + \frac{t}{t_1^2} \left( 4 - \frac{6-2y}{1-y_+} \right) + \frac{1}{t_1 \chi_+} \left[ \frac{16(\chi_+)^2}{1-y_+} - 4y_-^2 + 4y_- \left( y + \frac{1}{1-y} - \frac{1}{y} \right) - 28y + 60 - \frac{12}{y} \right] + \frac{1}{t_1 \chi_+} \left[ 8y_-^2 + 8y_- (\chi_+) - 8y_-^2 + 48y - 20 + \frac{32}{y} - \frac{8(1-y)(2-y)^2}{1-y_+} \right] + \\
& + \frac{t_1}{t_1 \chi_+} \left[ -\frac{4(\chi_+)^2}{1-y_+} + \frac{1}{1-y_-} \left( -2y^2 + 8y - 10 - \frac{2}{1-y} \right) + y_- \left( -4 + \frac{2}{y} - \frac{2}{1-y} \right) + \frac{2}{y(\chi_+)} + 6y - 6 \right] + \\
& + \frac{1}{t_1 t_1} \left[ 16 - 10y + \frac{2(\chi_+)^2(4-y)}{(\chi_+)(\chi_-)} \right] + \frac{2\chi_+}{t_1 t_1} \frac{y_+(\chi_+)}{(\chi_+)(\chi_-)} + \frac{1}{t_1 \chi_-} \left[ -\frac{4y_-^2}{1-y} + y_- \left( -16 + \frac{4}{y(\chi_+)} \right) - \frac{20}{y} + 4y + 24 + \frac{4(y^2 - 8y + 8)}{1-y_-} \right] + \frac{t_1}{t_1 \chi_-} \left[ -\frac{12}{1-y_-} + 12 + \frac{2}{y} + y_- \left( \frac{2}{y} - \frac{4}{\chi_+} \right) \right] + \\
& + \frac{1}{\chi_-} \left[ \frac{2y_-^2}{1-y} - y_- \left( 12 + \frac{2}{1-y} \right) - \frac{24(\chi_+)}{1-y_-} + \frac{16}{y} - \frac{4}{1-y} - 12y - 8 \right] + \frac{1}{t} \left[ \frac{1}{1-y_-} \left( -2y^2 + 10y + 4 - \frac{8}{y} \right) + \frac{1}{1-y_+} \left( -\frac{8}{y} + 20 - 12y \right) + 6y - 20 + y_- \left( -2 - \frac{2}{1-y} \right) \right] + 8 \text{умм.}
\end{aligned}$$

Здесь введены обозначения, отличающиеся от текста:  $t = y_- (1 - \beta z_-)$ ,  
 $t_1 = y_+ (1 + \beta z_+)$ ,  $\chi_{\pm} = y (1 \pm \beta z_{\mp})$ ,  $z_{\pm} = \cos(\vec{p}_- \cdot \vec{p}'_{\pm})$ ,  $z_y = \cos(\vec{p}_- \cdot \vec{p})$ ,  
 $p_+ + p_- = k + p'_+ + p'_-$ , знаком  $\text{умм}$  мы обозначаем члены, получающиеся  
из предыдущего заменой  $t \leftrightarrow t_1$ ,  $y_+ \leftrightarrow y_-$ ,  $\chi_+ \leftrightarrow \chi_-$ ,  $z_+ \leftrightarrow -z_-$ ,  $z_y \leftrightarrow -z_y$   
Это выражение справедливо с точностью до членов  $m_e^2/\Delta$ .  
 $\beta_{\pm} = \sqrt{1 - \frac{4m_e^2}{3y_{\pm}^2}}$ ,  $\beta = \sqrt{1 - \frac{4m_e^2}{3}}$ , величины  $y_{\pm}$ ,  $y$  изменяются в области

$$0 < y_i < 1, \quad y_+ + y_- + y = 2,$$

$$(\chi_+)(\chi_-)(\chi) \geq \frac{m_e^2}{3} y^2.$$

### Л и т е р а т у р а

1. F.A.Berends et al. Nucl. Phys., B57 (1973), 381.
2. F.A.Berends and R.Gastmans, Nucl. Phys. B61 (1973), 414.
3. F.A.Berends et al. Nucl. Phys. B68 (1974), 541.
4. Б.В.Гешкенбейн и М.В.Терентьев. Ядерная физика, 8 (1968) 550.
5. Э.А.Кураев и С.И.Эйдельман. Препринт ИЯФ 76-II5, Новосибирск, 1976.
6. Е.А.Кураев and G.V.Meledin, Nucl. Phys. B122 (1977), 485.
7. V.N.Baier, S.A.Kheifets, Nucl. Phys. 47 (1963), 313.
8. Г.М.Гариян. Известия АН Арм.ССР 5 (1952) № 3.
9. В.Г.Горшков, УФН, 10 (1973) 45.
10. Э.А.Кураев и В.С.Фадин. Препринт ИЯФ 78-56, Новосибирск, 1978.